

ВЛИЯНИЕ СТРОЕНИЯ КОМПЛЕКСНЫХ ЧАСТИЦ В ПЛЕНКООБРАЗУЮЩЕМ РАСТВОРЕ НА СТРУКТУРУ И СВОЙСТВА ПЛЕНОК $\text{In}_2\text{O}_3:\text{Sn}$ и $\text{SnO}_2:\text{Sb}$

С.А. Кузнецова*, Т.Д. Малиновская**, В.И. Сачков***

*Томский государственный университет

**Сибирский физико-технический институт

***Томский политехнический университет

E-mail: malin@elefot.tsu.ru

Из пленкообразующих растворов комплексных соединений In^{3+} , Sn^{4+} а также Sn^{4+} , Sb^{3+} с ацетилацетоном способом "dip-coating" получены тонкие пленки $\text{In}_2\text{O}_3:\text{Sn}$ и $\text{SnO}_2:\text{Sb}$. Методами ИК-, УФ-спектроскопии и вискозиметрии установлено строение комплексных частиц в ацетилацетоновом растворе. Изучены оптические, электрофизические свойства и морфология оксидных пленок. Показано влияние строения пленкообразующих растворов комплексных соединений на морфологию и свойства пленок $\text{In}_2\text{O}_3:\text{Sn}$ и $\text{SnO}_2:\text{Sb}$.

Работы по изучению и внедрению комплексных соединений в технологию тонких оксидных пленок, а также по исследованию процессов, протекающих в пленкообразующих растворах комплексных соединений (ПОРКС), представляют большой практический интерес. Среди перспективных комплексных соединений исследователи выделяют β -дикетонаты [1, 2]. Данная работа посвящена изучению влияния состава и строения ацетилацетонового ПОРКС на морфологию и свойства оксидных пленок $\text{In}_2\text{O}_3:\text{Sn}$ и $\text{SnO}_2:\text{Sb}$. Такие пленки обладают электронной проводимостью и характеризуются хорошей прозрачностью при высокой проводимости и находят широкое применение в производстве прозрачных, электропроводящих, теплоотражающих, а также газочувствительных материалов [3].

Экспериментальная часть

Пленки $\text{In}_2\text{O}_3:\text{Sn}$ и $\text{SnO}_2:\text{Sb}$ получали вытягиванием из пленкообразующего раствора (метод "dip-coat-

ing") индия (III), олова (IV) и сурьмы (III) с ацетилацетоном (Насас). В качестве подложек использовали полированный поликристаллический кварц. Скорость вытягивания составляла 2 мм/с. Термическую обработку образцов, после предварительной сушки, проводили в муфельной печи при температуре 873 К со скоростью нагрева 2 град/мин. Содержание олова и сурьмы в оксидных пленках составляло 13 ат. %.

ПОРКС готовили путем растворения хлоридов In^{3+} и Sn^{4+} (ПОРКС-1), а также Sn^{4+} и Sb^{3+} (ПОРКС-2) в Насас. Концентрация солей InCl_3 , SnCl_4 составляла 0,12 моль/л. Процесс растворения проводили при 333 К в термостате с обратным холодильником до глубокого потемнения растворов. В этих условиях Насас по отношению к катионам ведет себя не только как растворитель, но и как лиганд.

Состав ПОРКС исследовали методами ИК-, УФ-спектроскопии. ИК-спектры снимали на спектрофотометре ИКС-29 в области волновых чисел от 400 до 4200 см^{-1} , УФ-спектры – на спектро-

фотометре СФ-20 в области длин волн 220...340 нм относительно Насас. Пленкообразующую способность оценивали по значению вязкости. Вязкость определяли при 298 К на вискозиметре ВПЖ-2 с диаметром капилляров 1,31 и 0,99 мм.

Состав пленок определяли методом рентгено-фазового анализа (РФА) на дифрактометре ДРОН-3М (CuK_α -излучение, Ni-фильтр). Пленки представляют собой твердые растворы на основе оксидов индия или олова соответственно, и являются полупроводниками *n*-типа. Поверхностное сопротивление оценивали с помощью вольтметра ВК7-9; прозрачность пленок – спектрофотометром ИКС-3. Исследование морфологии поверхности и толщины проводили методом трехмерной бесконтактной профилометрии на приборе MICRO MEASURE 3D-station.

Результаты и их обсуждение

С целью изучения составов ПОРКС-1, 2, в работе исследованы ИК-спектры ацетилацетоновых растворов Sn^{4+} и Sb^{3+} . Зарегистрирован набор основных колебаний характеристических групп (табл. 1). В ацетилацетоновом растворе Sb^{3+} отсутствовала диффузионная полоса поглощения –ОН группы енольной формы ($3200...2500 \text{ см}^{-1}$) [4], Насас и присутствовала полоса поглощения ($\text{C}=\text{O}+\text{C}=\text{C}$) хелата при 1481 см^{-1} . В ИК-спектре раствора Sn^{4+} обнаружено колебание диффузионной полосы поглощения –ОН группы (2680 см^{-1}) и не обнаружено поглощение ($\text{C}=\text{O}+\text{C}=\text{C}$) групп хелатной структуры. Согласно ИК-спектрам этих двух растворов в ацетилацетоновом растворе Sn^{4+} присутствуют комплексные частицы $[\text{Sn}(\text{Насас})_n]^{4+}$, где Насас связан с ионом олова (IV) кетонной и недиссоциированной енольной формами, а в ацетилацетоновом растворе Sb^{3+} комплексную частицу можно представить как $[\text{Sb}(\text{асас})_m(\text{Насас})_n]^{2+}$. Строение комплексных частиц представлено на рис. 1. Анализ ИК-спектров ПОРКС-1, 2 (табл. 1) указывает на наличие колебания $\text{C}=\text{O}$ группы ($1725...1683 \text{ см}^{-1}$) кетонной формы, $\text{C}=\text{O}$ групп ($1548...1520 \text{ см}^{-1}$) енольной недиссоциированной формы [5, 6]. В ИК-спектре ПОРКС-2, где присутствуют ионы Sn^{4+} совместно с Sb^{3+} , наблюдается полоса колебаний $\text{C}=\text{O}$ групп енольной формы диссоциированного ацетилацетона хелатной структуры (1450 см^{-1}), связанного с ионом Sb^{3+} в комплексной частице. Следовательно, в ПОРКС-2 помимо комплексного иона $[\text{Sn}(\text{Насас})_n]^{4+}$ присутствует комплексный ион $[\text{Sb}(\text{асас})_m(\text{Насас})_n]^{2+}$ (рис. 1). ПОРКС-1 представляет собой раствор комплексных частиц $[\text{Sn}(\text{Насас})_n]^{4+}$ и $[\text{In}(\text{Насас})_n]_{3+}$ (рис. 1).

На такое строение комплексных частиц в ПОРКС указывают и их спектры поглощения в УФ-области. Из них видно (рис. 2), что ПОРКС-1 (кривая 1) в УФ-области имеет один широкий максимум поглощения в области длин волн от 270 до 275 нм. Согласно литературным данным [5], эта полоса поглощения вызвана $\pi-\pi^*$ переходом Насас и характеризует его кето-енольное равновесие, где енольная форма недиссоциирована (рис. 1, а, б). В спектре поглощения ПОРКС-2 помимо полосы поглощения с максимумом в области длин волн 200...275 нм обнаружена полоса с максимумом на 290 нм, обусловленная $\pi-\pi^*$ переходом диссоциированной енольной формы ацетилацетона (асас^-) [7] (рис. 1, с).

Таблица 1. Основные характеристические колебания ПОРКС-1, 2, а также растворов хлоридов Sn^{4+} и Sb^{3+} в ацетилацетоне

Характеристическая группа	Растворы и их характеристические колебания, см^{-1}			
	Sn^{4+}	Sb^{3+}	ПОРК С-1	ПОРК С-2
(ОН) диффузн. енол	2680	–	2580	2675
(C=O) кетон	1725	1715	1725	1747, 1683
(C=O) + (C=C) енол	1540	1534	1548	1520
(C=O) + (C=C) хелат	–	1481	–	1493
(C-OH) + (CH_3)	1364	1365	1362	1400
	1310	1310	1315	1362
	1254	1257	1256	1251
(C-OH) + (C-C)	1173	1170	–	1174
	1018	1019	–	–
	970	976	967	–
	933	934	932	925
π (CH)	807	806	797	792
Деформац. кольца + (Me-O)	666	673	664	–
	564	563	–	575
	553	546	549	549

На практике критерием пленкообразующей способности ПОРКС, а также их устойчивости служит вязкость растворов. Значения кинематической вязкости (η) ПОРКС-1, 2 подтверждают их пленкообразующую способность ($\eta=1,19...1,27 \text{ мм}^2/\text{с}$) [8]. При этом в стабильной области пленкообразования вязкость растворов практически одинакова ($\eta=1,230\pm0,004 \text{ мм}^2/\text{с}$), но характер ее изменения во времени отличается. Как видно из рис. 3 в ПОРКС-1 на вторые сутки вязкость незначительно уменьшается и стабилизируется к пятым суткам. В ПОРКС-2 вязкость, проходя через максимум (кривая 2, рис. 3), стабилизируется на 8-е сутки. Так как при

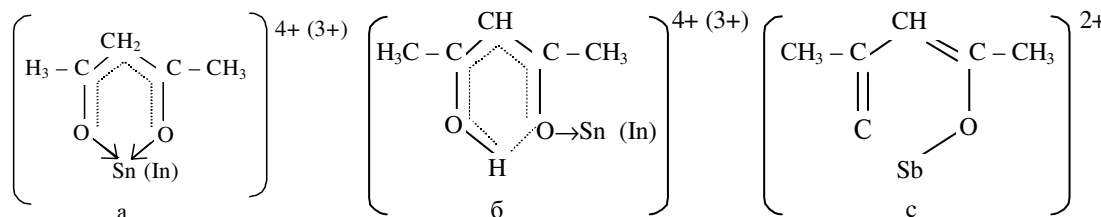


Рис. 1. Структура комплексных частиц в ПОРКС

сравнении ИК-спектров ПОРКС-1, 2, снятых в первый день их приготовления и через 20 дней, никаких изменений не наблюдается, то изменение вязкости может быть связано только с перестройкой растворителя и комплексных частиц [9], а также образованием полимерных ассоциатов -Me-Насас-Me-Насас-, -Me-Насас-Me-асас-, где $\text{Me} = \text{In}^{3+}, \text{Sn}^{4+}, \text{Sb}^{3+}$ вследствие способности ацетилацетона выступать в качестве мостикового лиганда [10]. Уменьшение η [9] возможно происходит за счет разрушения структуры растворителя в результате воздействия на Насас электрического поля ионов $\text{Me}^{n+}, \text{Cl}^-$.

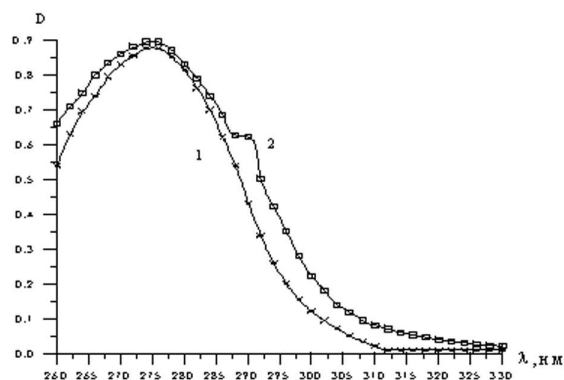


Рис. 2. Поглощение ПОРКС в УФ-области. 1) ПОРКС-1; 2) ПОРКС-2

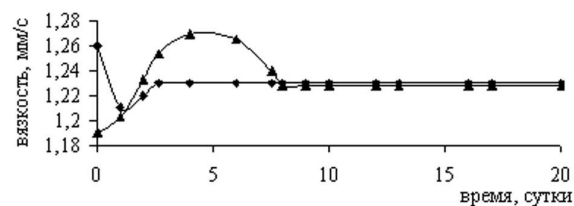


Рис. 3. Изменение вязкости во времени: ▲ — ПОРКС-2, ◆ — ПОРКС-1

Ориентация молекул Насас в поле ионов приводит к росту вязкости. Снижение вязкости в ПОРКС-2 может быть связано с разрушением ассоциатов за счет образования взаимно ориентированных координационно-насыщенных молекул [11] ацетилацетонатов сурьмы хелатного строения с координационным числом 6. Отличие строения комплексных частиц в ПОРКС сказывается на свойствах и морфологии пленок.

В табл. 2 приведены основные физические свойства пленок из которых следует, что поверхностное сопротивление R тонкопленочных покрытий $\text{In}_2\text{O}_3:\text{Sn}$ меньше, а прозрачность T и толщина d больше соответствующих значений для $\text{SnO}_2:\text{Sb}$. Бо-

лее толстые пленки $\text{In}_2\text{O}_3:\text{Sn}$ ($d=400\ldots600$ нм) характеризуются укрупнением размера поверхностных неоднородностей h до 520 нм (табл. 2) и меньшей пористостью (рис. 4). Согласно рентгено-дифрактометрическим данным эти неоднородности состоят из кристаллитов со средним размером 25 ± 5 нм.

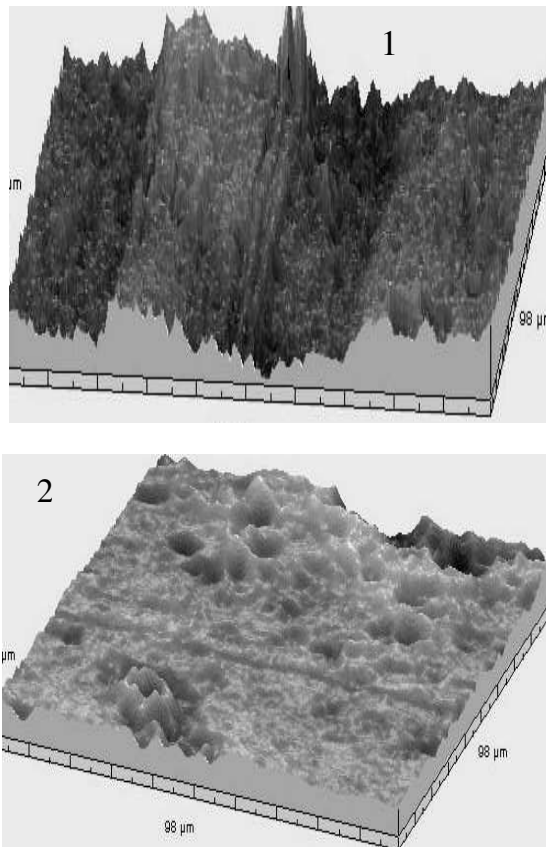


Рис. 4. Морфология поверхности пленок. 1) $\text{SnO}_2:\text{Sb}$; 2) $\text{In}_2\text{O}_3:\text{Sn}$

Пленки $\text{SnO}_2:\text{Sb}$ характеризуются большей пористостью и неравномерностью по толщине, рис. 4, ($d=120\ldots510$ нм) при среднем размере неоднородностей 125 нм и размере кристаллитов 10 ± 5 нм.

Данные факты, вероятно, связаны с различным строением комплексных ионов ПОРКС. Формирование оксидной пленки происходит за счет термической деструкции высушенного ПОРКС на подложке при 873 К. В комплексной частице $[\text{Sb}(\text{acac})_n(\text{Насас})_m]^{2+}$ (ПОРКС-2) в отличие от комплексных частиц $[\text{Sn}(\text{Насас})_n]^{4+}$ и $[\text{In}(\text{Насас})_n]^{3+}$ между Sb^{3+} и диссоциированным ацетилацетоном связь образуется по обменному механизму, пос-

Таблица 2. Физические свойства полученных пленок

Кол-во слоев	$\text{In}_2\text{O}_3:\text{Sn}$				$\text{SnO}_2:\text{Sb}$			
	R , кОм	T , %	d , нм	h , нм	R , кОм	T , %	d , нм	h , нм
1	80...90	95	66...100	205	9000...5000	92	40...70	42
2	1,5...1,6	—	90...150	—	250...190	—	45...140	—
3	0,7...0,8	94	130...200	420	90...80	87	70...140	88
4	0,5...0,6	—	190...270	—	45...40	—	80...340	—
5	0,4...0,5	—	260...400	—	20...10	—	100...420	—
6	0,3...0,4	90	400...600	520	15...10	82	120...150	125

кольку такая связь более прочная и требует большего времени и энергетических затрат для разрушения $[Sb(асас)_n(Насас)_m]^{2+}$. Возможно, поскольку при формировании оксидного каркаса $SnO_2:Sb$ затруднено удаление остатков продуктов разложения, что увеличивает пористость пленки. Кроме того, координационно-насыщенный ацетилацетонатный комплекс сурьмы (III) характеризуется высокой летучестью, что может приводить к уменьшению толщины слоя и, соответственно, снижению концентрации носителей заряда за счет снижения общего содержания сурьмы в материале.

Заключение

В результате проведенной работы впервые из пленкообразующих ацетилацетоновых растворов

на основе комплексных соединений индия (III), олова (IV), и сурьмы (III) с ацетилацетоном способом "*dip-coating*" получены тонкие пленки $In_2O_3:Sn$ и $SnO_2:Sb$, с концентрацией легирующего компонента 13 ат. %. Полученные материалы характеризуются прозрачностью не ниже 82 %, толщиной от 40 до 600 нм и сопротивлением 0,3...9000 кОм в зависимости от условий получения. На основании исследований морфологии и физических свойств пленок показано, что они зависят от структуры и свойств ПОРКС. Установлено, что при одинаковых значениях вязкости ПОРКС-1 и ПОРКС-2 и термической обработке пленок, морфология, толщина, а, следовательно, и свойства тонкопленочных материалов $In_2O_3:Sn$ и $SnO_2:Sb$ определяются строением комплексных ионов в исходных пленкообразующих растворах.

СПИСОК ЛИТЕРАТУРЫ

1. Сайфулин Р.С. Физико-химия неорганических полимеров и композиционных материалов. — М.: Химия, 1990. — 290 с.
2. Циганова С.И., Дягилева Л.М. Реакционная способность β -дикетонатов металлов в реакции термораспада // Успехи химии. — 1996. — Т. 65. — № 4. — С. 334—349.
3. Qiang Wei Haixing, Zheng Yohong Huang. Direct patterning ITO transparent conductive coating // Solar Energy Materials. 2 Solar Cells. — 2001. — V. 68. — P. 383—390.
4. Гордон А., Форд Р. Спутник химика. — М.: Мир, 1976. — С. 541.
5. Накамото К. ИК-спектры и спектры КР неорганических и координационных соединений. — М.: Мир, 1991. — С. 287—297.
6. Казицина Л.А., Куплетская Н.Б. Применение УФ-, ИК- и ЯМР спектроскопии в органической химии. — М.: Высшая школа, 1971. — 241 с.
7. Нейланд О.Е., Страдынь Я.П. и др. Строение и таутомерные превращения дикарбонильных соединений. — Рига: Зинатне, 1991. — С. 171—174.
8. Суйковская Н.В. Химические методы получения тонких прозрачных пленок. — Л.: Химия, 1971. — 199 с.
9. Эрдеи-Груз Т. Явления переноса в водных растворах. — М.: Мир, 1976. — 592 с.
10. Пешкова В.М., Мельчакова Н.В. β -дикетонаты. — М.: Мир, 1976. — 592 с.
11. Дюков В.В., Кузнецова С.А., Борило Л.П., Козик В.В. Изучение пленкообразующей способности ацетилацетонатов $Sn(II)$, $Zr(IV)$, $Hf(IV)$ // Журнал прикладной химии. — 2001. — Т. 74, вып. 10. — С. 1578—1591.